DOI: 10. 13382/j. jemi. B2104621

电动代步车鲁棒故障检测与容错控制*

杨荣立2

(1. 合肥工业大学电气与自动化工程学院 合肥 230009;2. 安徽江淮汽车股份有限公司技术中心

要:针对具有参数不确定性的电动代步车系统,提出一种基于区间自适应阈值和控制律重构策略的主动容错控制方法。首 先,建立电动代步车系统的不确定性诊断键合图模型,并设计基于区间解析冗余关系的区间自适应阈值以提高参数不确定下的 故障检测性能。其次,设计系统无故障情况下滑模控制律以实现代步车速度跟踪。接着,构建参数故障条件下的滑模控制律, 利用极限学习机对滑模控制律中用来补偿未知参数故障的控制项进行实时估计,并利用故障检测结果进行控制律的实时切换。 最后,通过实验结果分析,验证了基于区间自适应阈值的鲁棒故障检测方法有效性,以及参数故障下主动容错控制方法的可 行性。

关键词: 主动容错控制;极限学习机;区间自适应阈值;电动代步车

中图分类号: TP277; TP273⁺.2 文献标识码: A 国家标准学科分类代码:510.8060

Robust fault detection and fault-tolerant control of electric scooter

Yu Ming¹ Yang Liu¹ Yang Rongli²

- (1. School of Electrical Engineering and Automation, Hefei University of Technology, Hefei 230009, China;
 - 2. Technical Center of Anhui Jianghuai Automobile Corporation, Hefei 230601, China)

Abstract: In this paper, an active fault-tolerant control method based on interval adaptive threshold and control law reconstruction strategy is developed for electric scooter system with uncertain parameters. Firstly, the uncertain diagnostic bond graph model of the electric scooter system is established, and the interval adaptive threshold based on interval valued analytical redundancy relations is developed to improve the fault detection performance in the presence of parameter uncertainties. Secondly, the sliding mode control law is designed under normal conditions to realize the speed tracking of electric scooter. After that, the sliding mode control law under faulty condition is established where the extreme learning machine is adopted to estimate the term compensating the unknown parameter fault in the control law in a real time manner. The switching of control law can be implemented online using the fault detection result. Finally, through the analysis of experimental results, the effectiveness of the robust fault detection method based on the interval adaptive threshold is proved, and the feasibility of the active fault-tolerant control method in the presence of parameter fault is verified.

Keywords; active fault-tolerant control; extreme learning machine; interval adaptive threshold; electric scooter

引 言

在世界各国普遍出现人口老龄化问题的背景下,为 老年人及残障人士出行提供便利的电动代步车,近年来 受到广泛的关注。在电动代步车行驶过程中,如果发生 故障,将影响行驶安全性,可能引发一系列交通问题,甚

至威胁驾驶员的生命安全。此外,电动代步车主要服务 对象是老年人及残障人士,这类人群一般行动不便,一旦 在道路上遇到故障等问题,引起的后果往往要比其他群 体更加严重。因此,针对电动代步车系统进行故障诊断 和容错控制方法研究,确保行驶安全性,具有重要的 意义[1-5]。

一般来说,故障诊断方法可以分为基于数据驱动的

收稿日期: 2021-08-10 Received Date: 2021-08-10

方法和基于模型的方法[67]。基于数据驱动的故障诊断 方法对系统历史运行数据进行分析和处理,这类方法在 难以建立精确数学模型的情况下比较实用[8]。文献[9] 提出了一种永磁同步电机电流传感器故障检测与容错控 制方法。该方法不需要系统的精确模型,利用信号处理 的方法对系统健康状态进行评估。然而,基于数据驱动 的方法在实际应用中,存在故障数据难以获取的问 题[10]。基于模型的方法是目前比较成熟的故障诊断方 法,主要优势在于能够建立故障和模型参数变化之间的 联系,使得诊断结果具有明确的物理意义,同时诊断精度 相对较高[11]。在基于模型的方法中,键合图作为一种统 一的多能域动力学建模方法,为复杂系统建模提供了一 种有效途径。同时,键合图借助独特的因果关系可以简 单直观地实现故障隔离[12]。文献[13]提出了一种基于 键合图模型的鲁棒故障检测和容错控制方法,该方法考 虑建模和测量的不确定性,生成解析冗余关系和 DBG-LFT (diagnostic bond graph-linear fractional transformation) 自适应阈值,从而实现参数不确定下的鲁棒故障检测。 然而,该自适应阈值的上界是由所有参数不确定性引起 的附加势/流的绝对值相加获得,导致阈值边界取值过于 保守,这会对检测性能带来负面影响。

目前,在容错控制问题的研究中,主动容错控制与被动容错控制相比,具有更优的控制性能和更灵活的设计方法等优势。文献[14]提出了一种考虑车辆转向系统故障的电动汽车被动容错路径跟随控制方法,但该方法会导致控制系统性能降低。文献[15]针对电动叉车电动助力转向系统的执行器与传感器故障,提出了一种基于执行器故障重构的主动容错控制方法,以此来确保电动助力转向系统在故障情况下的助力性能,但该方法需要实时测量助力电机端电压和端电流。文献[16]针对执行器故障下独立驱动电动汽车提出了一种基于在线故障检测的主动容错控制方法。然而,以上工作大多没有考虑参数不确定性对故障检测性能的影响。

本文针对存在参数不确定性的电动代步车系统,提出一种基于区间自适应阈值和控制律重构的主动容错控制方法。首先,基于线性分式变换(linear fractional transformation, LFT)建立电动代步车的不确定性诊断键合图(uncertain diagnostic bond graph, UDBG)模型,通过UDBG模型构建区间解析冗余关系(interval valued analytical redundancy relations, I-ARRs)。利用 I-ARRs设计区间自适应阈值以提高参数不确定情况下的故障检测性能。然后,构建无故障情况下滑模控制律以实现电动代步车速度跟踪,设计参数故障条件下的滑模控制律,并利用极限学习机(extreme learning machine, ELM)对滑模控制律中用来补偿未知参数故障的控制项进行实时估计,确保系统在故障条件下速度跟踪性能。利用故障检

测结果实时切换控制律,实现参数故障下的主动容错控制。最后,通过电动代步车实验平台验证所提方法的有效性。

1 电动代步车系统故障检测

1.1 电动代步车系统 UDBG 模型

电动代步车系统(如图 1 所示)由直流电机驱动器、直流电机、后轮、车身以及前轮 5 个部分组成。24 V 铅酸电池为直流电机及其驱动器供电,电机带动后轮转动,经车身带动前轮转动。在前、后轮以及车身上安装 3 个传感器,分别测量前轮角速度、后轮角速度以及车身线速度。



图 1 电动代步车系统

Fig. 1 The electric scooter system

基于键合图理论和 LFT 方法对系统进行建模。LFT 与键合图相结合,将参数不确定部分和标称模型分离,并表示成内部变量的反馈回路。那么,不确定部分在标称键合图模型上表示成附加势源或流源^[13]。图 2 为基于键合图和 LFT 建立的电动代步车 UDBG 模型。UDBG 模型由驱动器部分、直流电机部分、后轮部分、车身部分和前轮部分组成。

- 1)驱动器部分建模: u_{in} 是电动代步车输入信号。变换器 $TF: k_1$ 表示电压经过比例 k_1 转换成电流。
- 2) 直流电机部分建模: 直流电机内阻用 $R:R_1$ 描述。 $I:J_1$ 表示直流电机的转动惯量。回转器 $GY:k_2$ 表示直流电机将电能转化为机械能,转换比为 k_2 。变换器 $TF:k_3$ 表示电机的转速以比例 k_3 转换成电动代步车后轮角速度。 $R:R_2$ 为电机的机械摩擦,具体形式如下:

$$R_2 = k_f \dot{\theta}_1 + F_u \operatorname{sign}(\dot{\theta}_1) \tag{1}$$

式中: k_f 是电机粘性摩擦力系数, θ_1 是后轮角速度。 F_u 是电机库伦摩擦力矩, $\operatorname{sign}(\cdot)$ 为符号函数。[δ_R] 为参

数 R_1 的不确定性,通过增加 0_1 结点,利用虚拟传感器 De^* 和可调势源 MSe ,将参数不确定性以附加势源(即 MSe)形式反馈到标称模型中。同理, $[\delta_{R_2}]$ 和 $[\delta_{J_1}]$ 为 R_2 和 J_1 的参数不确定性。

3) 后轮部分建模: $I: J_2$ 为电动代步车后轮转动惯量。 $Df: \theta_1$ 为安装在后轮的传感器, $R: R_3$ 为后轮摩擦力, 具体形式如下:

$$R_3 = k_{j_1}\theta_1 + F_{u_1}\mathrm{sign}(\theta_1)$$
 (2)
式中: k_{j_1} 是后轮粘性摩擦力系数, F_{u_1} 是后轮库伦摩擦力
矩。 $\left[\delta_{R_3}\right]$ 和 $\left[\delta_{J_2}\right]$ 分别为 R_3 和 J_2 的参数不确定性。

- 4) 车身部分建模: C_1 : $1/N_1$ 为后轮到车身的传动轴, N_1 为传动轴刚度。变换器 TF: k_4 表示后轮角速度转换成车身线速度,转换比例为车轮半径 k_4 。I: m 为车身重量。Df:s 为车身上安装的传感器器,其中 s 是车身线速度。 C_2 : $1/N_2$ 为车身到前轮的传动轴, N_2 为传动轴刚度。 $\left[\delta_{N_1}\right]$ 、 $\left[\delta_m\right]$ 和 $\left[\delta_{N_2}\right]$ 分别为 N_1 、m 和 N_2 的参数不确定性。
- 5)前轮部分建模: $I: J_3$ 为前轮的转动惯量。 $Df: \theta_2$ 为安装在前轮的传感器,其中 θ_2 是前轮角速度。 $R: R_4$ 为前轮摩擦力,具体形式如下:

$$R_4 = k_{j2}\dot{\theta}_2 + F_{u2}\operatorname{sign}(\dot{\theta}_2)$$
 (3)

式中: k_{J2} 是前轮粘性摩擦力系数, F_{u2} 是前轮库伦摩擦力矩。 $\left[\delta_{R_4}\right]$ 和 $\left[\delta_{J_3}\right]$ 分别为 R_4 和 J_3 的参数不确定性。

1.2 区间自适应阈值

基于图 2 的 UDBG 模型,可以建立 DBG-LFT 自适应 阈值 [13],实现参数不确定情况下的鲁棒故障检测。然而,该方法中阈值上界取值存在过于保守的问题,会降低 故障检测的灵敏度。为了提升故障检测性能,对 DBG-LFT 自适应阈值进行改进,提出一种区间自适应阈值,将 系统参数不确定性用区间形式进行建模。在图 2 中, $[\delta]$ 为 $[\delta, \delta]$ 的简化表示,定义 $[\delta, \delta]$ 为:

$$\begin{bmatrix} \delta, \bar{\delta} \end{bmatrix} = \begin{bmatrix} -\epsilon_l/\epsilon_n, \epsilon_r/\epsilon_n \end{bmatrix}$$
 (4)
式中: ϵ_n 为对应参数的标称值, $\epsilon_r \ge 0$ 、 $\epsilon_l \ge 0$ 分别为 ϵ_n 加性不确定性的最大上、下偏差。因此,系统参数的不确定性区间可以表示为:

 $\begin{bmatrix} \boldsymbol{\epsilon}, \boldsymbol{\epsilon} \end{bmatrix} = \boldsymbol{\epsilon}_n + \boldsymbol{\epsilon}_n \begin{bmatrix} \boldsymbol{\delta}, \boldsymbol{\delta} \end{bmatrix} = \begin{bmatrix} \boldsymbol{\epsilon}_n - \boldsymbol{\epsilon}_l, \boldsymbol{\epsilon}_n + \boldsymbol{\epsilon}_r \end{bmatrix}$ (5) 根据传感器因果关系反置法,考虑传感器连接的结点 $\mathbf{1}_3$ 、 $\mathbf{1}_5$ 和 $\mathbf{1}_7$ 的本构关系,用已知变量消除本构关系中的未知变量,可以得到如下形式的 I-ARRs:

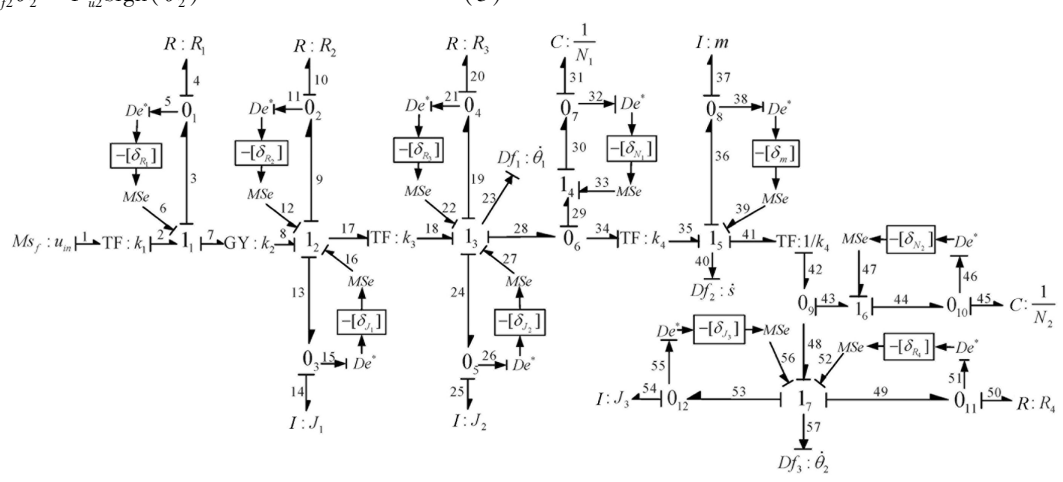


图 2 电动代步车系统的 UDBG 模型

Fig. 2 UDBG model of the electric scooter

从式(6)可以看出, I-ARRs 由标称 ARRs (ARR₁, ARR₂, ARR₃)和参数区间不确定性($[\underline{a_1}, \overline{a_1}]$, $[\underline{a_2}, \overline{a_2}]$, $[\underline{a_3}, \overline{a_3}]$)两个部分组成,其中 ARRs 为:

$$ARR_{1} = k_{3}^{-1} (k_{1}k_{2}u_{in} - J_{1}k_{3}^{-1}\overset{\dots}{\theta}_{1} - k_{3}^{-1}k_{f}\overset{\bullet}{\theta}_{1} - K_{1}^{-1}k_{f}\overset{\bullet}{\theta}_{1} - K_$$

$$N_1 \int (\dot{\boldsymbol{\theta}}_1 - k_4 \dot{s}) \, \mathrm{d}t \tag{7}$$

$$\mathrm{ARR}_2 = k_4 N_1 \int (\dot{\boldsymbol{\theta}}_1 \, - k_4 \dot{s}) \ dt - m \ddot{s} - k_4 N_2 \int (\, k_4 \dot{s} \, - \dot{\boldsymbol{\theta}}_2 \,) \, \mathrm{d}t$$

$$(8)$$

$${\rm ARR}_3 = N_2 \! \int \! \left(k_4 \dot{s} - \stackrel{\bullet}{\theta}_2 \right) \, dt \, - J_3 \stackrel{\cdots}{\theta}_2 \, - \, k_{f\!2} \stackrel{\bullet}{\theta}_2 \, - \,$$

$$F_{\nu^2} \operatorname{sign}(\hat{\theta}_2)$$
 (9)

式中: θ_1 为后轮角加速度,s为车身加速度, θ_2 为前轮角 加速度。

参数区间不确定性为:

$$\begin{bmatrix} \underline{a}_{2}, \overline{a}_{2} \end{bmatrix} = \begin{bmatrix} \underline{\delta}_{N_{1}}, \overline{\delta}_{N_{1}} \end{bmatrix} k_{4} N_{1} \int (\dot{\theta}_{1} - k_{4} \dot{s}) dt - \\
[\underline{\delta}_{\underline{m}}, \overline{\delta}_{\underline{m}}] m \ddot{s} - [\underline{\delta}_{N_{2}}, \overline{\delta}_{N_{2}}] k_{4} N_{2} \int (k_{4} \dot{s} - \dot{\theta}_{2}) dt \qquad (11)$$

$$[\underline{a_3}, \overline{a_3}] = [\underline{\delta_{N_2}}, \overline{\delta_{N_2}}] N_2 \int (k_4 \dot{s} - \dot{\theta}_2) dt - [\underline{\delta_{J_3}}, \overline{\delta_{J_3}}] J_3 \overset{\dots}{\theta}_2 - \underline{\delta_{J_3}}$$

$$\left[\delta_{k_{j2}}, \overline{\delta_{k_{j2}}}\right] k_{j2} \dot{\theta}_2 - \left[\delta_{F_{u2}}, \overline{\delta_{F_{u2}}}\right] F_{u2} \operatorname{sign}(\dot{\theta}_2)$$
(12)

通过对标称 ARRs 进行数值估计,可以生成残差 r_i , i=1,2,3。根据式(6)中 I-ARRs 可以计算出区间自适应 阈值[T_i,T_i]如下:

$$\begin{cases} \frac{T_i}{T_i} = \Theta(ARR_i) \\ \frac{T_i}{T_i} = \Theta(ARR_i) \end{cases}, i = 1, 2, 3$$
 (13)

式中: $\Theta(\vartheta)$, $\vartheta \in \{ARR_i, \overline{ARR_i}\}$, i = 1, 2, 3, 为无故障情 况下 ϑ 的数值评估。与采用相同上、下界的 DBG-LFT 自 适应阈值不同,式(13)描述的区间自适应阈值考虑了参 数不确定性上、下界的差异性,有利于提高故障检测的灵 敏度。在故障检测过程中,定义二进制相干向量 CV = [c, c, c, c] 来表示所有残差的一致性。CV 为零向量时表 示系统没有发生参数故障,反之系统发生参数故障。CV 中元素的确定规则如下:

$$c_{i} = \begin{cases} 0, T_{i} < r_{i} < \overline{T_{i}} \\ -1, \text{ if th} \end{cases}, i = 1, 2, 3 \tag{14}$$

电动代步车速度跟踪

2.1 电动代步车系统微分方程模型

考虑系统参数的不确定性,以参数 J_1 为例, J_2 的加 性不确定部分 γ_{J_1} 满足 $\gamma_{J_1} \in [\delta_{J_1}, \overline{\delta_{J_1}}] J_1$ 。同理,不确定 参数集 $\psi = \{R_1, R_2, J_1, R_3, J_2, N_1, m, N_2, R_4, J_3\}$ 中其他 参数也具有相同性质。定义 γΔ 为参数不确定的总 和,即:

$$\gamma_{\Delta} = k_3^{-1} \left(-\gamma_{J_1} k_3^{-1} \ddot{\theta}_1 - \gamma_{F_u} \operatorname{sign}(\dot{\theta}_1) - \gamma_{k_f} k_3^{-1} \dot{\theta}_1 \right) - \gamma_{J_2} \ddot{\theta}_1 - \gamma_{k_{f1}} \dot{\theta}_1 - \gamma_{F_{u1}} \operatorname{sign}(\dot{\theta}_1) - \gamma_{N_1} \int (\dot{\theta}_1 - k_4 \dot{s}) \, \mathrm{d}t + \gamma_{N_1} k_4 \int (\dot{\theta}_1 - k_4 \dot{s}) \, \mathrm{d}t - \gamma_{M_1} \dot{s} - \gamma_{N_2} k_4 \int (k_4 \dot{s} - \dot{\theta}_2) \, \mathrm{d}t + \gamma_{N_2} \int (k_4 \dot{s} - \dot{\theta}_2) \, \mathrm{d}t - \gamma_{M_1} \dot{\theta}_2 - \gamma_{K_{f2}} \dot{\theta}_2 - \gamma_{F_{u2}} \operatorname{sign}(\dot{\theta}_2)$$

$$(15)$$

定义后轮角速度为 x,由式(6)推导出电动代步车系 统微分方程模型为:

$$\ddot{x} = g(x, \dot{x})u_{in} + f(x, \dot{x}) + d(x, \dot{x})$$
其中, $g(x, \dot{x})$ 和 $f(x, \dot{x})$ 为:

$$g(x, \dot{x}) = \frac{k_1 k_2}{k_3 k_4^{-2} m + k_3^{-1} J_1 + k_3 J_2 + k_3 J_3}$$
$$f(x, \dot{x}) = -\frac{k_3^{-1} k_f + k_3 k_{f1} + k_3 k_{f2}}{k_3 k_4^{-2} m + k_3^{-1} J_1 + k_3 J_2 + k_3 J_3} \dot{x} - \frac{k_3^{-1} k_f + k_3 k_{f1} + k_3 k_{f2}}{k_3 k_4^{-2} m + k_3^{-1} J_1 + k_3 J_2 + k_3 J_3} \dot{x} - \frac{k_3^{-1} k_f + k_3 k_{f1}}{k_3 k_4^{-2} m + k_3^{-1} J_1 + k_3 J_2 + k_3 J_3} \dot{x} - \frac{k_3^{-1} k_f + k_3 k_{f1}}{k_3 k_4^{-2} m + k_3^{-1} J_1 + k_3 J_2 + k_3 J_3} \dot{x} - \frac{k_3^{-1} k_f + k_3 k_{f1}}{k_3 k_4^{-2} m + k_3^{-1} J_1 + k_3 J_2 + k_3 J_3} \dot{x} - \frac{k_3^{-1} k_f + k_3 k_{f1}}{k_3 k_4^{-2} m + k_3^{-1} J_1 + k_3 J_2 + k_3 J_3} \dot{x} - \frac{k_3^{-1} k_f + k_3 k_{f1}}{k_3 k_4^{-2} m + k_3^{-1} J_1 + k_3 J_2 + k_3 J_3} \dot{x} - \frac{k_3^{-1} k_f + k_3 k_{f1}}{k_3 k_4^{-2} m + k_3^{-1} J_1 + k_3 J_2 + k_3 J_3} \dot{x} - \frac{k_3^{-1} k_f + k_3 k_{f1}}{k_3 k_4^{-2} m + k_3^{-1} J_1 + k_3 J_2 + k_3 J_3} \dot{x} - \frac{k_3^{-1} k_f + k_3 k_{f1}}{k_3 k_4^{-2} m + k_3^{-1} J_1 + k_3 J_2 + k_3 J_3} \dot{x} - \frac{k_3^{-1} k_f + k_3 k_{f1}}{k_3 k_4^{-2} m + k_3^{-1} J_1 + k_3 J_2 + k_3 J_3} \dot{x} - \frac{k_3^{-1} k_f + k_3 k_{f1}}{k_3 k_4^{-2} m + k_3^{-1} J_1 + k_3 J_2 + k_3 J_3} \dot{x} - \frac{k_3^{-1} k_f + k_3 k_{f1}}{k_3 k_4^{-2} m + k_3^{-1} J_1 + k_3 J_2 + k_3 J_3} \dot{x} - \frac{k_3^{-1} k_f + k_3 k_{f1}}{k_3 k_4^{-2} m + k_3^{-1} J_1 + k_3 J_2 + k_3 J_3} \dot{x} - \frac{k_3^{-1} k_f + k_3 k_{f1}}{k_3 k_4^{-2} m + k_3^{-1} J_1 + k_3 J_2 + k_3 J_3} \dot{x} - \frac{k_3^{-1} k_f + k_3 k_5}{k_4^{-1} m + k_3^{-1} J_1 + k_3 J_2 + k_3 J_3} \dot{x} - \frac{k_3^{-1} k_5 k_5}{k_5^{-1} k_5^{-1} k_5} \dot{x} - \frac{k_3^{-1} k_5 k_5}{k_5^{-1} k_5^{-1} k_5} \dot{x} - \frac{k_5^{-1} k_5 k_5}{k_5^{-1} k_5^{-1} k_5} \dot{x} - \frac{k_5^{-1} k_5 k_5}{k_5^{-1} k_5^{-1} k_5} \dot{x} - \frac{k_5^{-1} k_5}{k_5^{-1} k_5} \dot{x} - \frac{k_5^{-1}$$

$$\frac{Fu+k_{3}F_{u1}+k_{3}F_{u2}}{k_{3}k_{4}^{-2}m+k_{3}^{-1}J_{1}+k_{3}J_{2}+k_{3}J_{3}}\mathrm{sign}(\dot{x})$$
式中: $d(x,\dot{x})$ 为未知系统扰动(包含系统参数不确定性

引起的 γ_{Δ}),且满足 $|d(x,\dot{x})| < D$ 。 电动代步车行驶过程中,考虑系统可能发生参数故 障,故障条件下电动代步车微分方程模型可以定义为:

 $\ddot{x} = g(x, \dot{x}) u_{in} + f(x, \dot{x}) + d(x, \dot{x}) + \Delta f(x, \dot{x})$ (17) 式中: $\Delta f(x, \dot{x})$ 为未知的故障函数。当系统正常时, $\Delta f(x,x) = 0$; 当系统存在故障时, $\Delta f(x,x) \neq 0$ 。

2.2 无故障情况下滑模控制律

首先,定义系统相对于期望后轮角速度 x₂ 的跟踪误 差为:

$$e = \dot{x}_d - \dot{x} \tag{18}$$

定义滑模面函数为:

$$s = e + c \int e dt \tag{19}$$

式中:c > 0。将式(19)两边对时间求导并结合式(16) 可得,

 $\dot{s} = \ddot{x}_d - (g(x, \dot{x})u_{in} + f(x, \dot{x}) + d(x, \dot{x})) + ce (20)$ 式中: x, 为期望的电动代步车后轮角加速度。 设计无故障情况下系统滑模控制律为:

$$u_{no} = \frac{1}{g(x, \dot{x})} (-f(x, \dot{x}) + \ddot{x}_d + ce + \eta_1 \text{sign}(s))$$
(21)

式中: η_1 为正常数, η_1 的取值需要大于系统干扰上界。

定理1:考虑电动代步车系统(16),采用式(19)定义 的滑模函数和式(21)设计的控制律,则闭环控制系统是 渐近稳定的。

证明:选取李亚普诺夫函数为:

$$V = \frac{1}{2}s^2 \tag{22}$$

将式(22)两边对时间求导可得:

$$\dot{V} = s\dot{s} \tag{23}$$

将式(20)和(21)代入式(23)可得:

$$\dot{V} = s(x_d - g(x, \dot{x}) u_{no} - f(x, \dot{x}) - d(x, \dot{x}) + c(\dot{x}_d - \dot{x})) = s(-\eta_1 \text{sign}(s) - d(x, \dot{x})) = -sd(x, \dot{x}) - \eta_1 |s| - sd(x, \dot{x}) - \eta_1 |s| + |s| |d(x, \dot{x})| < -\eta_1 |s| + D |s|$$
(24)

由于
$$|d(x,\dot{x})| < D$$
,取 $\eta_1 > D$,可得:

$$\dot{V} < 0 \tag{25}$$

从上述分析可以看出 V 是负定的,根据李亚普诺夫稳定性原理,该系统满足渐近稳定性,即系统状态从滑模面 s=0 以外任意状态出发,都将运动到滑模面。至此,定理 1 证明完毕。

3 主动容错控制策略

3.1 基于 ELM 的容错控制律

本文主要考虑电动代步车参数故障,当系统发生故障时, $\Delta f(x,\dot{x}) \neq 0$ 。故障的存在会对系统的控制性能产生不利的影响。为了解决这个问题,提出基于 ELM 的滑模控制策略,自适应地调整故障函数上界信息,保证故障状态下闭环系统的稳定性。这里,滑模控制采用指数趋近律:

$$\dot{s} = -\eta_2 \operatorname{sign}(s) - qs \tag{26}$$

式中: η_2 和 q 是两个正常数, η_2 的取值需要大于系统干扰上界。将式(17)代入式(26)可得:

$$\ddot{x}_{d} + c(\dot{x}_{d} - \dot{x}) - (g(x, \dot{x})u_{in} + f(x, \dot{x}) + d(x, \dot{x}) + \Delta f(x, \dot{x})) = -\eta_{2} \operatorname{sign}(s) - qs$$
(27)

设计故障情况下容错控制律为:

$$u_{f} = \frac{1}{g(x, \dot{x})} (-f(x, \dot{x}) + x_{d}^{"} + ce - \Delta \hat{f}(x, \dot{x}) + \eta_{2} \operatorname{sign}(s) + qs)$$
(28)

式中: $\Delta \hat{f}(x,\dot{x})$ 为 $\Delta f(x,\dot{x})$ 的估计值。

利用 ELM 对 $\Delta f(x,\dot{x})$ 进行实时估计:

$$\Delta \hat{f}(x,\dot{x}) = H(z,\omega,b)\hat{\beta}$$
 (29)

式中: $\hat{\boldsymbol{\beta}} = [\hat{\boldsymbol{\beta}}_1, \cdots, \hat{\boldsymbol{\beta}}_N^{\tilde{N}}]^{\mathsf{T}}$ 是输出节点的输出权重向量估计值, 其真实值为 $\boldsymbol{\beta}^*$,根据 ELM 万能逼近定理, 存在最优的 $\boldsymbol{\beta}^*$,使得:

$$\Delta f(x,\dot{x}) = H(z,\omega,b)\beta^* + \varepsilon$$
 (30)

式中: ε 是逼近误差,满足:

$$\mid \varepsilon \mid \leq \varepsilon_{N}$$
 (31)

式中: $\varepsilon_{\scriptscriptstyle N}$ 是逼近误差上界。 $H(z,\omega,b)$ 为 ELM 中具有 L

个输入,且具有 \tilde{L} 个神经元的隐层输出矩阵:

$$H(z, \boldsymbol{\omega}, \boldsymbol{b}) =$$

$$\begin{bmatrix} G(z_1, \boldsymbol{\omega}_1, b_1) & \cdots & G(z_1, \boldsymbol{\omega}_{\bar{L}}, b_{\bar{L}}) \\ \vdots & \ddots & \vdots \\ G(z_N, \boldsymbol{\omega}_1, b_1) & \cdots & G(z_N, \boldsymbol{\omega}_{\bar{L}}, b_{\bar{L}}) \end{bmatrix}$$
(32)

式中: $\mathbf{z} = [z_1, z_2, \cdots, z_L]$ 为输入向量, $\boldsymbol{\omega}_i = [\boldsymbol{\omega}_1, \boldsymbol{\omega}_2, \cdots, \boldsymbol{\omega}_L]^\mathsf{T}$ 是输入权重向量, b_i 是隐层节点的偏置。 $G(\cdot)$ 是激活函数, 具体形式如下:

$$G(\mathbf{z}, \boldsymbol{\omega}, b) = \frac{1}{1 + e^{-(\boldsymbol{\omega} \cdot \mathbf{z} + b)}}$$
(33)

定理 2:考虑电动代步车系统(17),采用式(19)定义的滑模函数和式(28)定义的控制律,且 ELM 的输出权重 $\hat{\boldsymbol{\beta}}$ 通过以下自适应律进行更新:

$$\hat{\boldsymbol{\beta}} = -\left(\frac{1}{\sigma} s \boldsymbol{H}(z, \boldsymbol{\omega}, \boldsymbol{b})\right)^{\mathrm{T}}$$
(34)

式中:自适应增益 $\sigma > 0$,则控制系统是渐近稳定的。

证明:将式(28)代入式(19)可得

$$\dot{s} = \ddot{x}_{d} - f(x, \dot{x}) - g(x, \dot{x})u_{f} - \Delta f(x, \dot{x}) - d(x, \dot{x}) + ce = \ddot{x}_{d} - (-f(x, \dot{x}) + \ddot{x}_{d} + ce - \Delta \hat{f}(x, \dot{x}) + \eta_{2} \operatorname{sign}(s) + qs) - f(x, \dot{x}) - \Delta f(x, \dot{x}) - d(x, \dot{x}) + ce = -\Delta f(x, \dot{x}) + \Delta \hat{f}(x, \dot{x}) - \eta_{2} \operatorname{sign}(s) - qs - d(x, \dot{x}) = -\Delta \tilde{f}(x, \dot{x}) - \eta_{2} \operatorname{sign}(s) - qs - d(x, \dot{x})$$
(35)

式中.

$$\Delta \widetilde{f}(x,\dot{x}) = \Delta f(x,\dot{x}) - \Delta \widehat{f}(x,\dot{x}) = H(z,\boldsymbol{\omega},\boldsymbol{b}) \widetilde{\boldsymbol{\beta}} + \varepsilon = H(z,\boldsymbol{\omega},\boldsymbol{b}) \hat{\boldsymbol{\beta}} + \varepsilon = H(z,\boldsymbol{\omega},\boldsymbol{b}) \hat{\boldsymbol{\beta}}$$

$$\stackrel{\text{lef }}{\approx} \mathbb{X}:$$
(36)

$$\widetilde{\boldsymbol{\beta}} = \boldsymbol{\beta}^* - \hat{\boldsymbol{\beta}} \tag{37}$$

选取李亚普诺夫函数为:

$$V = \frac{1}{2}s^2 + \frac{1}{2}\sigma\widehat{\boldsymbol{\beta}}^{\mathrm{T}}\widehat{\boldsymbol{\beta}}$$
 (38)

将式(38)两边对时间求导可得:

$$\dot{V} = s\dot{s} + \sigma \widetilde{\boldsymbol{\beta}}^{\mathrm{T}} \widetilde{\boldsymbol{\beta}} = s(-\Delta \widetilde{f}(x, \dot{x}) - \eta_{2} \mathrm{sign}(s) - qs - d(x, \dot{x})) + \sigma \widetilde{\boldsymbol{\beta}}^{\mathrm{T}} \widetilde{\boldsymbol{\beta}} = s(-H(z, \boldsymbol{\omega}, \boldsymbol{b}) \widetilde{\boldsymbol{\beta}} - \varepsilon - \eta_{2} \mathrm{sign}(s) - d(x, \dot{x}))$$

$$qs - d(x, \dot{x})) + \sigma \widetilde{\boldsymbol{\beta}}^{\mathsf{T}} \widetilde{\boldsymbol{\beta}} = \widetilde{\boldsymbol{\beta}} (-s\boldsymbol{H}(z, \boldsymbol{\omega}, \boldsymbol{b}) + \sigma \widetilde{\boldsymbol{\beta}}^{\mathsf{T}}) - s(\eta_{2}\operatorname{sign}(s) + qs + d(x, \dot{x}) + \varepsilon) = \widetilde{\boldsymbol{\beta}} (-s\boldsymbol{H}(z, \boldsymbol{\omega}, \boldsymbol{b}) + s(\boldsymbol{\omega}, \boldsymbol{b}))$$

$$\sigma \widetilde{\boldsymbol{\beta}}^{\mathrm{T}}) - (\eta_{2} \operatorname{sign}(s) + qs + d(x, \dot{x}) + \varepsilon)$$
 (39)

由于 $\widetilde{\boldsymbol{\beta}} = -\hat{\boldsymbol{\beta}}$,将式(34)代入式(39)可得:

 $\dot{V} = -s(\eta_2 \operatorname{sign}(s) + qs + d(x, \dot{x}) + \varepsilon) = -\eta_2 \mid s \mid -qs^2 - sd(x, \dot{x}) - s\varepsilon < -\eta_2 \mid s \mid -qs^2 + \mid s \mid \mid d(x, \dot{x}) \mid + \mid s \mid \mid \varepsilon \mid < -\eta_2 \mid s \mid + D \mid s \mid + \varepsilon_N \mid s \mid$ (40)

由于 $|d(x,\dot{x})| < D$, $|\varepsilon| \le \varepsilon_N$, 取 $\eta_2 > D + \varepsilon_N$, 可得:

$$\dot{V} < 0 \tag{41}$$

从上述分析可以看出 V 是负定的,根据李亚普诺夫稳定性原理,该系统满足渐近稳定性。至此,定理 2 证明完毕。

当建模不确定性和干扰较大时,需要切换增益项较大,这就会造成较大的抖振。为了防止抖振,式(21)和式(28)的控制律中采用饱和函数 sat(s) 代替 sign(s),即

$$sat(s) = \begin{cases}
1, & s > \nabla \\
\rho s, & |s| \leq \nabla, \rho = \frac{1}{\nabla} \\
-1, & s < -\nabla
\end{cases} \tag{42}$$

式中:▽为边界层。

3.2 控制律切换

图 3 为电动代步车主动容错控制原理图,鲁棒故障检测模块进行在线参数故障检测。当区间自适应阈值检测到系统发生参数故障,决策机制将无故障情况下滑模控制律 u_n 切换至故障情况下容错控制律 u_f ,从而实现电动代步车系统的主动容错控制。

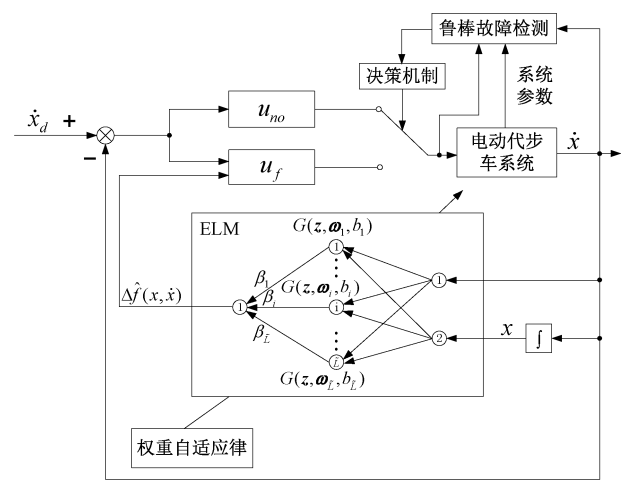


图 3 电动代步车主动容错控制原理 Fig. 3 Active fault-tolerant control schematic of electric scooter

4 实验验证

为了验证本文所提方法的可行性,在图 1 的电动代步车平台上进行实验验证。利用 LabVIEW 和 MATLAB 混合编程构建电动代步车的故障检测模块和主动容错控制模块。其中, LabVIEW 通过配置 DAQNavi Assistant 模块与 USB 数据采集卡进行通信,采集编码器信号并发送控制信号;利用 MATLAB 编写故障检测和容错控制算法

程序。通过摩擦力注入装置实现后轮摩擦力故障(后轮摩擦力参数包含库伦摩擦力矩 F_{u1} 和粘性摩擦力系数 k_n)的注入。

采用遗传算法进行 UDBG 模型参数辨识,可以得到模型参数标称值和不确定性区间如表 1 所示。该方法对电动代步车进行 10 次实验,每次实验系统的输入都为 1 V,总共采集到 10 组系统输入输出数据。并通过这 10 组数据进行参数辨识,可以辨识获得 10 组参数值,这 10 组辨识结果的平均值作为 ϵ_n ,而 10 组辨识结果相对于标称值的 ϵ_r 、 ϵ_l 分别除以 ϵ_n 作为参数的不确定性区间上、下界。图 4 为使用辨识参数的模型输出的后轮角速度和实验台采集的后轮角速度的对比。

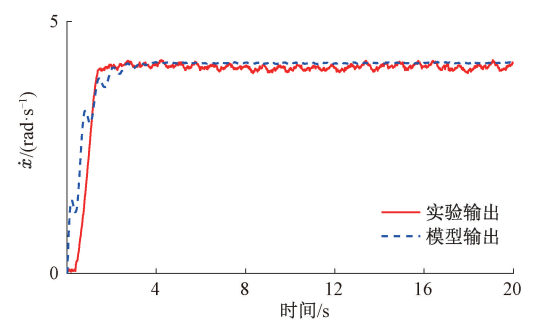


图 4 模型输出速度和真实速度对比

Fig. 4 Comparison of model output speed and real speed

设计无故障情况下滑模控制律参数为: c=0.01, $\eta_1=8$, $\nabla=0.09$ 。设计容错控制律参数为: c=0.01, $\eta_2=6$, $\nabla=0.09$, q=20, $\sigma=0.3$, ELM 的初始参数 ($\boldsymbol{\omega}$, \boldsymbol{b}) 中元素分别从区间[-1,1]和[0,1]内随机选取, $\dot{x}_d=5$ rad/s。采样时间为0.01 s。系统总运行时间为12 s。

为了更好地评估所提出的主动容错控制方法性能,选取常规滑模控制器以及 PID 控制器进行对比实验。其中常规滑模控制器采用式(21)中的无故障状态下滑模控制律.PID 控制器为:

$$u_{\text{\tiny PID}} = K_P e + K_I \int_0^t e \mathrm{d} \, \tau + K_D \dot{e} \tag{43}$$

其中, $K_p = 0.35$, $K_I = 0.2$, $K_D = 0.1$ 分别为比例、积分和微分增益。

实验过程中,在6s时通过摩擦力故障注入装置注入后轮摩擦力的突变故障。ARRs的残差响应如图5~7所示,图中的DBG-LFT自适应阈值采用文献[13]中的方法进行设计。从图5~7中可以看出,在故障发生前,残差在DBG-LFT自适应阈值和区间自适应阈值以内。在6.07s时,ARR₁的残差超出区间自适应阈值,在6.14s时,ARR₁的残差超出DBG-LFT自适应阈值,采用区间自适应阈值可以更快检测到故障。说明区间自适应阈值比DBG-LFT自适应阈值对故障更灵敏。因此,在参数不确定条件下采用区间自适应阈值可以提高故障检测性能。

表 1 系统参数的标称值及乘性不确定性区间

Table 1	The nominal	values and	interval	multiplicative	uncertainty	of system	narameters
Table 1	THE HOHIMAI	values and	miterval	munubhtauve	uncertamity	or system	Darameters

参数	标称值	乘性不确定性区间	参数	标称值	乘性不确定区间
k_1	0. 2 A/V	/	${J}_1$	$5.03 \times 10^{-4} \text{ kgm}^2$	[-0.061,0.017]
k_2	1 Nm/A	/	J_2	$4.87 \times 10^{-3} \text{ kgm}^2$	[-0.033,0.026]
k_3	1/18	/	N_1	10 rad/Nm	[-0.023,0.030]
k_4	1/0. 105 m	/	N_2	10 rad/Nm	[-0.091,0.011]
k_f	1. 72×10 ⁻³ Nms/rad	[-0.016,0.015]	k_{f2}	1.86×10 ⁻³ Nm/rad	[-0.022,0.015]
\boldsymbol{F}_u	$5.63 \times 10^{-2} \text{ Nm}$	[-0.062,0.033]	F_{u2}	$1 \times 10^{-3} \text{ Nm}$	[-0.020,0.013]
k_{f1}	3. 55×10 ⁻² Nms/rad	[-0.011,0.078]	m	20.7 kg	[-0.010,0.022]
F_{u1}	6. 05×10 ⁻² Nm	[-0.031,0.015]	R_1	1 Ω	[-0.078,0.019]

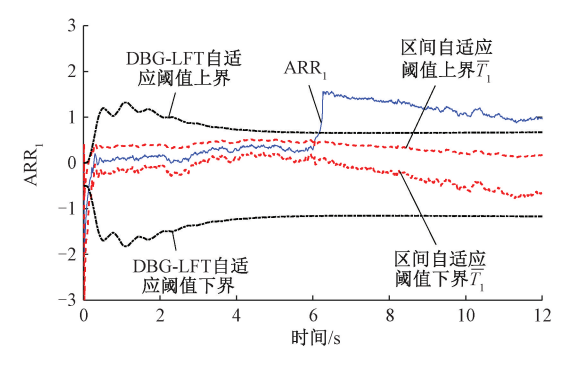


图 5 后轮摩擦力故障时 ARR, 响应

Fig. 5 The response of ARR₁ under rear wheel friction fault

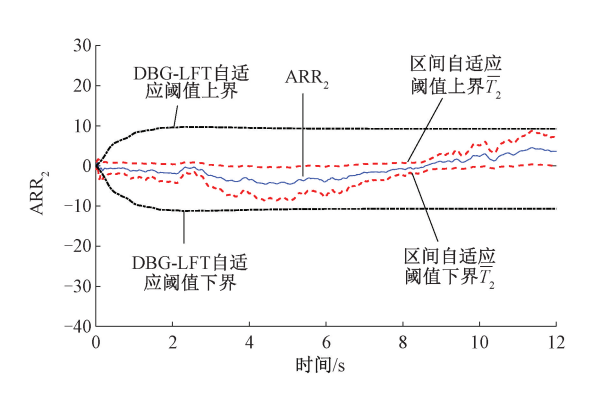


图 6 后轮摩擦力故障时 ARR₂ 响应

Fig. 6 The response of ARR2 under rear wheel friction fault

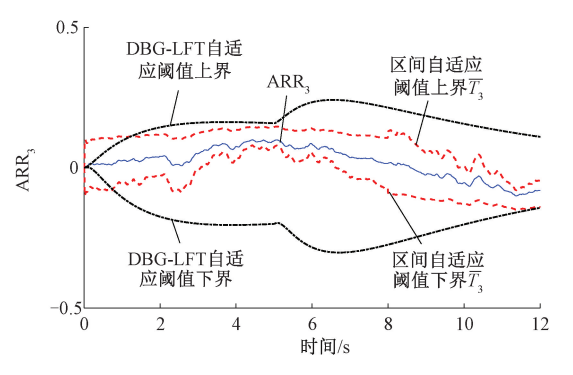


图 7 后轮摩擦力故障时 ARR, 响应

Fig. 7 The response of ARR_3 under rear wheel friction fault

当 CV 为非零向量时,检测到参数故障的发生,决策机制将控制律 u_{no} 切换至控制律 u_f 。图 8 为 ELM 估计结果,在故障发生后,ELM 估计出故障函数的幅值,并将估计结果作为控制律中用来补偿未知参数故障的控制项,维持系统在故障条件下的稳定性。图 9 为 3 种控制方法下的后轮角速度响应,从图中可以看出,主动容错控制器在故障发生后,经过短时间调整,实现速度快速收敛,确保了电动代步车在参数故障下的速度跟踪性能,而 PID 控制和常规滑模控制在故障发生后,跟踪性能出现了下降

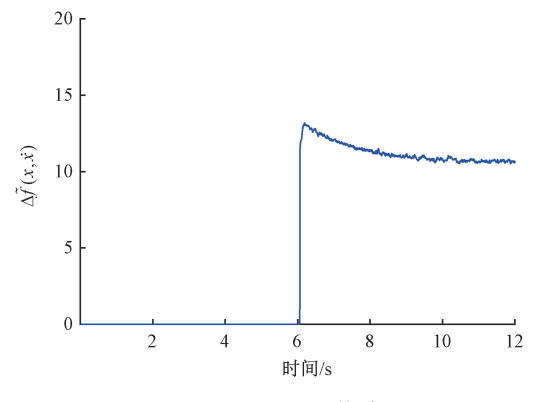


图 8 $\Delta f(x,\dot{x})$ 的估计

Fig. 8 Estimation of $\Delta f(x, \dot{x})$

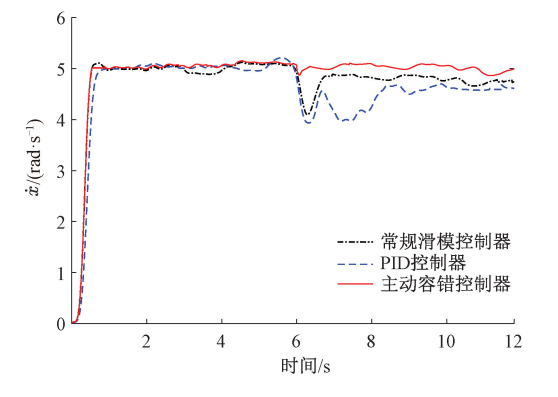


图 9 电动代步车系统输出

Fig. 9 The output of electric scooter system

为了更加直观地比较不同控制策略的容错性能,采用平均跟踪误差(average tracking error, ATE)和最大绝对值跟踪误差(maximum absolute error, ME)这两个指标进行定量分析, ATE 和 MAE 定义如下[17]:

$$ATE = 10^{2} \sqrt{\sum_{i=1}^{N_{d}} e^{2}(i)} / N_{d}$$
 (44)

 $MAE = \max(|e(i)|)$ (45) 式中: N_d 为采样点总数。

表 2 为对比结果,可以看出,在故障发生之后,本文 所提出的主动容错控制器可以获得最小的 ATE 以及 MAE,也就是说,主动容错控制方法在参数故障条件下仍 能够维持满意的控制性能。

表 2 3 种控制器的实验性能比较

Table 2 Performance comparisons of three controllers

评价指标	PID 控制器	常规滑模控制器	容错控制器
<i>ATE</i> /(rad • s ⁻¹)	3. 297	2. 946	1. 891
$MAE/(\text{rad} \cdot \text{s}^{-1})$	1. 165	1.099	0. 125

5 结 论

本文研究了一种基于区间自适应阈值和控制律重构的主动容错方法,应用于存在参数不确定性和参数故障的电动代步车系统中。首先,基于键合图和 LFT 理论建立电动代步车系统 UDBG 模型,根据 UDBG 模型推导 I-ARRs,设计区间自适应阈值以提高参数不确定条件下的故障检测性能。然后,构建基于 ELM 的滑模控制律进行参数故障下的容错控制。利用故障检测结果进行控制律的实时切换,从而实现参数故障下的主动容错控制。通过实验验证,表明所提出的区间自适应阈值相对于 DBG-LFT 自适应阈值对故障更加灵敏,可以提高故障检测性能。此外,基于 ELM 的滑模容错控制律,能够确保故障条件下的速度跟踪性能。

参考文献

111-114.

- [1] DJEZIRI M A, MERZOUKI R, BOUAMAMA B O, et al. Fault diagnosis and fault-tolerant control of an electric vehicle over-actuated [J]. IEEE Transactions on Vehicular Technology, 2013, 62(3);986-994.
- [2] 张秋艳,高平安,高海,等. 一种锂电池组故障诊断在 线监测设计[J]. 国外电子测量技术,2019,38(12): 111-114. ZHANG Q L, GAO P AN, GAO H, et al. On-line monitoring design of lithium battery pack fault diagnosis[J]. Foreign
- [3] 牛刚,曹雪杰,秦肖肖.高速列车双通道速度传感器故

Electronic Measurement Technology, 2019, 38 (12):

障检测与隔离研究[J]. 仪器仪表学报,2019,40(1): 158-165.

NIU G, CAO X J, QIN X X. Research on fault detection and isolation of dual channel speed sensor for high-speed train [J]. Chinese Journal of Scientific Instrument, 2019,40(1):158-165.

- [4] 胡业林,代斌,宋晓. 基于小波包和 AFSA-SVM 的电机 故障诊断[J]. 电子测量技术,2021,44(2):48-55. HU Y L, DAI B, SONG X. Motor fault diagnosis based on wavelet packet and AFSA-SVM [J]. Electronic Measurement Technology, 2021,44(2):48-55.
- [5] 毛向向,王红军,韩凤霞,等.基于深度卷积神经网络的机电系统故障分类识别方法[J].电子测量与仪器学报,2021,35(2):87-93.

MAO X X, WANG H J, HAN F X, et al. Brushless DC motor sensor fault detection and fault-tolerant system based on neural network [J]. Journal of Electronic Measurement and Instrumentation, 2021,35(2):87-93.

- [6] GAO Z, CECATI C, DING S X. A survey of fault diagnosis and fault-tolerant techniques—part I: Fault diagnosis with model-based and signal-based approaches [J]. IEEE Transactions on Industrial Electronics, 2015, 62 (6): 3757-3767.
- [7] 谈恩民,李峰. 结合 LMD 云模型和 ABC-LSSVM 的模拟电路故障诊断[J]. 电子测量与仪器学报,2020,34(2):80-87.

TAN EN M, LI F. Analog circuit fault diagnosis combined with LMD cloud model and ABC-LSSVM[J]. Journal of Electronic Measurement and Instrumentation, 2020,34(2):80-87.

- [8] SIONTOROU C G, BATZIAS F A, TSAKIRI V. A knowledge-based approach to online fault diagnosis of FET biosensors [J]. IEEE Transactions on Instrumentation and Measurement, 2010, 59 (9): 2345-2364.
- [9] WU C, GUO C, XIE Z, et al. A signal-based fault detection and tolerance control method of current sensor for PMSM drive [J]. IEEE Transactions on Industrial Electronics, 2018,65(12):9646-9657.
- [10] COZZA A. Low frequency model-based identification of soft impedance faults in cables [J]. IEEE Transactions on Instrumentation and Measurement, 2019, 68 (10): 3524-3535.
- [11] TIAN S, YANG C, CHEN F et al. Circle equation-based fault modeling method for linear analog circuits [J]. IEEE Transactions on Instrumentation and Measurement, 2014, 63(9):2145-2159.
- [12] YU M, WANG D, LUO M. Model-based prognosis for

- hybrid systems with mode-dependent degradation behaviors [J]. IEEE Transactions on Industrial Electronics, 2014, 61(1);546-554.
- [13] LOUREIRO R, BENMOUSSA S, TOUATI Y, et al. Integration of fault diagnosis and fault-tolerant control for health monitoring of a class of MIMO intelligent autonomous vehicles [J]. IEEE Transactions on Vehicular Technology, 2014, 63(1);30-39.
- [14] CHEN T, L CHEN L, XU X, et al. Passive fault-tolerant path following control of autonomous distributed drive electric vehicle considering steering system fault [J].

 Mechanical Systems and Signal Processing, 2019, 123: 298-315.
- [15] 陶婕,肖本贤. 电动叉车 EPS 系统执行器与传感器的容错控制[J]. 电子测量与仪器学报,2019,33(8):85-93.
 - TAO J, XIAO B X. Fault-tolerant control of actuators and sensors for EPS system of electric forklift system[J]. Journal of Electronic Measurement and Instrumentation, 2019, 33(8):85-93.
- [16] ZHANG G, ZHANG H, HUANG X, et al. Active fault-tolerant control for electric vehicles with independently driven rear in-wheel motors against certain actuator faults[J]. IEEE Transactions on Control Systems Technology, 2016, 24(5):1557-1572.
- [17] VAN M. An enhanced robust fault tolerant control based on an adaptive fuzzy PID-nonsingular fast terminal sliding mode control for uncertain nonlinear systems [J]. IEEE/ASME Transactions on Mechatronics, 2018, 23 (3): 1362-1371.

作者简介



郁明,2012 年于新加坡南洋理工大学 获得博士学位,现为合肥工业大学教授,主 要研究方向为复杂系统的故障诊断与预测、 混杂系统建模。

E-mail: yu0202@ hfut. edu. cn.

Yu Ming received his Ph. D. degree in 2012 from Nanyang Technological University, Singapore, now he is a professor at Hefei University of Technology. His main research interests include fault diagnosis and prognosis of complex system, hybrid system modeling.



杨柳(通信作者),2018年于合肥学院获得学士学位,现为合肥工业大学硕士研究生,主要研究方向为故障诊断与容错控制。 E-mail; yangliucg@ mail. hfut. edu. cn.

Yang Liu (Corresponding author) received his B. Sc. degree in 2018 from Hefei

University, now he is a M. Sc. candidate at Hefei University of Technology. His main research interests include fault diagnosis and fault tolerant control.



杨荣立,2011年于西安电子科技大学 获得学士学位,现为江淮汽车技术中心乘用 车研究院主管工程师,主要研究方向为汽车 新产品试制验证。

E-mail: 578638963@ qq. com

Yang Rongli received his B. Sc. degree in 2011 from Xidian University, now he is an engineer in charge at Technical Center of Anhui Jianghuai Automobile Corporation. His main research interests include trial production and verification of new automobile products.